

# Сегнетоэлектрические явления в CdSnO<sub>3</sub>: исследования из первых принципов

© А.И. Лебедев

Московский государственный университет им. М.В. Ломоносова,  
Москва, Россия

E-mail: swan@scon155.phys.msu.ru

(Поступила в Редакцию 1 декабря 2008 г.)

Из первых принципов методом функционала плотности рассчитаны фононный спектр кубического метастанната кадмия и параметры кристаллической структуры искаженных фаз на его основе. Показано, что фононный спектр и спектр энергий искаженных фаз в  $\alpha\text{-CdSnO}_3$  удивительно похожи на соответствующие характеристики  $\text{CdTiO}_3$ . Основным состоянием кристалла  $\alpha\text{-CdSnO}_3$  является сегнетоэлектрическая фаза  $Pbn_2_1$ , выигрыш энергии при фазовом переходе в которую из неполярной фазы  $Pbnm$  составляет  $\sim 30 \text{ meV}$ , а величина спонтанной поляризации —  $0.25 \text{ C/m}^2$ . Анализ собственного вектора сегнетоэлектрической моды в  $\alpha\text{-CdSnO}_3$  и парциальных плотностей состояний указывает на то, что сегнетоэлектрическая неустойчивость в этом кристалле, не содержащем атомов переходных  $d$ -элементов, связана с образованием ковалентной связи между атомами Cd и O.

Работа выполнена при финансовой поддержке РФФИ (проект № 08-02-01436).

PACS: 61.50.Ah, 63.20.D-, 77.84.Dy

## 1. Введение

Среди большого семейства сегнетоэлектриков со структурой перовскита  $AB\text{O}_3$  наименее изученными являются кристаллы, в которых атомом A является кадмий. В системе CdO–SnO<sub>2</sub> образуются два соединения — CdSnO<sub>3</sub> и Cd<sub>2</sub>SnO<sub>4</sub> [1]. Метастаннат кадмия CdSnO<sub>3</sub> существует в двух стабильных модификациях — с орторомбически искаженной структурой перовскита ( $\alpha$ -модификация) [1–3] и ромбоэдрической структурой ильменита ( $\beta$ -модификация) [3,4]. Как и в случае титаната кадмия, кристаллы CdSnO<sub>3</sub> со структурой ильменита получаются при температуре синтеза  $\leq 800^\circ\text{C}$  [5,6], а кристаллы со структурой перовскита — при температуре  $1000\text{--}1100^\circ\text{C}$  [1,5] или при высоком давлении [3]. Кроме того, при разложении CdSn(OH)<sub>6</sub> удается получить CdSnO<sub>3</sub> с метастабильной структурой шпинели [7]. Ортостаннат кадмия Cd<sub>2</sub>SnO<sub>4</sub> также существует в двух кристаллических модификациях — с орторомбической структурой Sr<sub>2</sub>PbO<sub>4</sub> и структурой шпинели [7]. Все указанные соединения являются полупроводниками  $n$ -типа проводимости с шириной запрещенной зоны 2–3 eV [8,9], причем из-за высокой концентрации собственных дефектов для них характерна достаточно высокая электропроводность ( $\sigma = 10^{-5}\text{--}5 \cdot 10^3 \Omega^{-1} \cdot \text{cm}^{-1}$ ). Последнее обстоятельство затрудняет исследование этих материалов диэлектрическими методами. Станннаты кадмия используются для создания прозрачных в видимом диапазоне пленочных проводящих покрытий и в качестве газовых сенсоров.

Метастаннат кадмия со структурой перовскита представляет интерес как потенциальный сегнетоэлектрик. К сожалению, исследования этого материала весьма немногочисленны. Кристаллическая структура  $\alpha\text{-CdSnO}_3$  при 300 K была исследована на порошках [1] и

моноцисталлах [3] и идентифицирована как структура с пространственной группой (пр. гр.)  $Pbnm$ . Более тонкий анализ интенсивностей рентгеновских рефлексов [10] позволил высказать предположение о возможном полярном состоянии этой фазы (предполагаемая пр. гр.  $Pbn_2_1$ ). К тому же выводу пришли и авторы работы [11]. Исследования спектров оптического поглощения и люминесценции [9] обнаружили на температурных зависимостях ширины запрещенной зоны  $E_g(T)$  в моноцисталлах  $\alpha\text{-CdSnO}_3$  неизвестной ориентации область быстрого изменения  $E_g$  (на 0.11 eV) при  $T \approx 80^\circ\text{C}$  и еще две области изменений около 140 и 200°C, которые связали с происходящими в кристаллах фазовыми переходами (ФП). В области этих температур также наблюдались сильные изменения интенсивности люминесценции и степени ее поляризации. Если все указанные особенности действительно связаны с сегнетоэлектрическим фазовым переходом, то мы имеем дело с редким для перовскитов случаем, когда сегнетоэлектрические свойства возникают в кристаллах, не содержащих переходных  $d$ -элементов.

Объективные трудности в исследовании метастанната кадмия, неполнота имеющихся в литературе экспериментальных данных и отсутствие ясности в природе сегнетоэлектричества, предполагаемого в этом материале, делают целесообразным обращение к расчетам физических свойств  $\alpha\text{-CdSnO}_3$  из первых принципов.

## 2. Техника расчетов

Расчеты проводились методом функционала плотности с использованием псевдопотенциалов и разложения волновых функций по плоским волнам, которые реализованы в программе ABINIT [12]. Обменно-корреля-

**Таблица 1.** Сравнение относительных энергий различных низкосимметричных фаз в кристаллах  $CdTiO_3$  и  $CdSnO_3$  (за начало отсчета энергии принята энергия кубической фазы)

$CdTiO_3$ [16,17]			$CdSnO_3$		
Неустойчивая мода	Пространственная группа	Энергия, meV	Неустойчивая мода	Пространственная группа	Энергия, meV
$R_{15}$	$I4/mmm$	-24	$M_5$	$Cmma$	-141
$X_3$	$P4_2/mmc$	-45	$M_5$	$Pmna$	-262
$\Gamma_{25}$	$P\bar{4}m2$	-134	$X_3$	$P4_2/mmc$	-404
$X_5$	$Pmma$	-160	$X_5$	$Pmma$	-474
$\Gamma_{15}$	$R3m$	-245	$R_{15}$	$I4/mmm$	-536
$X_5$	$Cmcm$	-282	$\Gamma_{25}$	$P\bar{4}m2$	-540
$\Gamma_{15}$	$P4mm$	-340	$\Gamma_{15}$	$R3m$	-753
$\Gamma_{15}, \Gamma_{25}$	$Amm2$	-412	$X_5$	$Cmcm$	-886
$\Gamma_{25}$	$R32$	-486	$\Gamma_{15}$	$P4mm$	-1079
$R_{25}$	$I4/mcm$	-912	$\Gamma_{15}, \Gamma_{25}$	$Amm2$	-1259
$M_3$	$P4/mbm$	-920	$\Gamma_{25}$	$R32$	-1450
$R_{25}$	$R\bar{3}c$	-1197	$M_3$	$P4/mbm$	-1617
$R_{15}$	$C2/m$	-1202	$R_{25}$	$I4/mcm$	-1659
$R_{25} + M_3$	$Pbnm$	-1283	$R_{15}$	$C2/m$	-2455
$B_{2u}$	$Pb_21m$	-1285	$R_{25}$	$R\bar{3}c$	-2460
$B_{1u}$	$Pbn2_1$	<b>-1290</b>	$R_{25} + M_3$	$Pbnm$	-2575
			$B_{1u}$	$Pbn2_1$	<b>-2605</b>

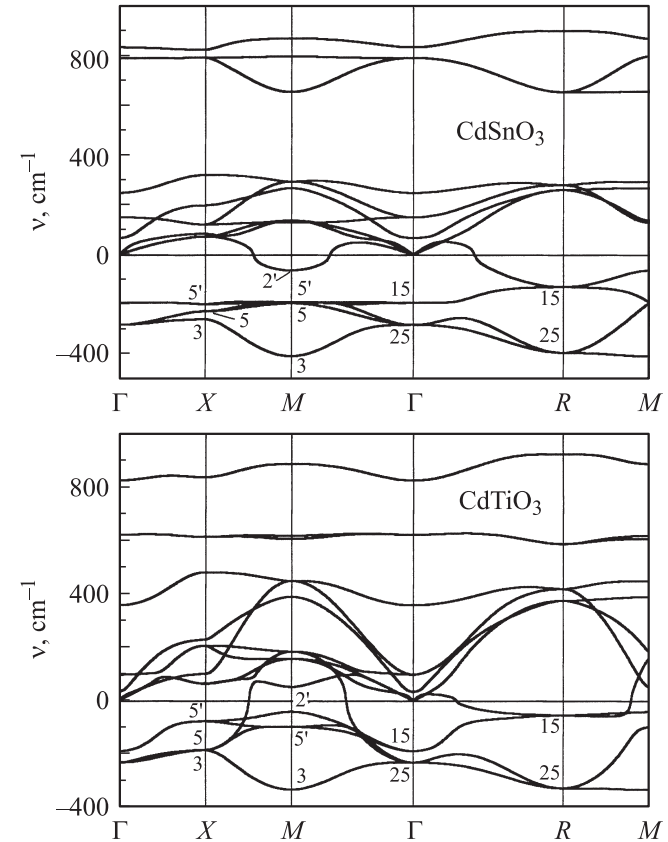
Примечание. Жирным шрифтом выделена энергия основного состояния.

ционное взаимодействие описывалось в приближении локальной плотности (LDA) по схеме [13]. В качестве псевдопотенциалов использовались оптимизированные сепарабельные нелокальные псевдопотенциалы [14], построенные с помощью программы OPIUM, в которые для улучшения „переносимости“ добавлялся локальный потенциал в соответствии с работой [15]. Параметры, использованные при построении псевдопотенциалов, результаты тестирования псевдопотенциалов и другие подробности расчетов приведены в [16].

### 3. Результаты расчетов

3.1. Сравнение свойств  $CdSnO_3$  и  $CdTiO_3$ . На рис. 1 показаны фононные спектры кристаллов  $\alpha$ - $CdSnO_3$  и  $CdTiO_3$  в кубической прафазе со структурой перовскита. Сопоставление этих спектров обнаруживает их удивительное сходство. Это дает основание предполагать, что и другие физические свойства этих кристаллов будут похожими.

В табл. 1 приведены энергии различных низкосимметричных фаз, получающихся при искажении кубической прафазы метастабильного кадмия в соответствии с собственными векторами присутствующих в его фононном спектре неустойчивых фононов. Для сравнения в таблицу включены результаты предыдущих расчетов энергии искаженных фаз в титанате кадмия [16,17]. Существование в  $CdSnO_3$  еще одной неустойчивой моды  $M_5$ , отвечающей искажению структуры с разворотом октаэдров, приводит к еще двум низкосимметричным фазам с пр. гр.  $Cmma$  и  $Pmna$ . Видно, что спектры энергий различных



**Рис. 1.** Сравнение фононного спектра для кубической прафазы  $CdSnO_3$  с фононным спектром той же фазы для  $CdTiO_3$  [16]. Числа около кривых указывают симметрию мод.

**Таблица 2.** Параметры решетки  $a, b, c$  (в Å) и координаты атомов в кристаллах CdSnO<sub>3</sub> с пр. гр.  $Pbnm$  и  $Pbn2_1$

Параметр	Настоящая работа		Эксперимент			
	$Pbnm$	$Pbn2_1$	[1]	[3]	[11]	[18]*
$a$	5.5024	5.5284	5.547	5.4578	5.4593	5.4588
$b$	5.5982	5.5972	5.577	5.5773	5.5804	5.5752
$c$	7.9770	7.9584	7.867	7.8741	7.8771	7.8711
Cd <sub>x</sub>	-0.00861	-0.00553				-0.0092
Cd <sub>y</sub>	+0.04816	+0.03818				+0.0423
Cd <sub>z</sub>	+0.25000	+0.26021				+0.2500
Sn <sub>x</sub>	+0.00000	+0.00036				+0.0000
Sn <sub>y</sub>	+0.50000	+0.51455				+0.5000
Sn <sub>z</sub>	+0.00000	-0.00209				+0.0000
O1 <sub>x</sub>	+0.12498	+0.12340				+0.114
O1 <sub>y</sub>	+0.42809	+0.42802				+0.455
O1 <sub>z</sub>	+0.25000	+0.24122				+0.2500
O2a <sub>x</sub>	+0.68331	+0.66193				+0.695
O2a <sub>y</sub>	+0.31304	+0.35381				+0.301
O2a <sub>z</sub>	+0.06830	+0.04275				+0.058
O2b <sub>x</sub>	+0.31669	+0.29516				+0.305
O2b <sub>y</sub>	+0.68696	+0.72657				+0.699
O2b <sub>z</sub>	-0.06830	-0.09020				-0.058

\* При расшифровке структуры предполагалась пр. гр.  $Pbnm$ .

искаженных фаз в  $\alpha\text{-CdSnO}_3$  и  $\text{CdTiO}_3$  очень похожи, что подтверждает сходство этих кристаллов. Самой низкой по энергии неполярной фазой в метастабиле кадмия оказывается орторомбическая фаза  $Pbnm$ .

В табл. 2 приведены расчетные параметры структуры для фазы  $Pbnm$  метастабиле кадмия. Как следует из сравнения с литературными данными, расчетные параметры решетки близки к экспериментально наблюдаемым. Небольшое завышение расчетных параметров решетки связано с особенностью использованного псевдопотенциала для атома олова, которая проявлялась в тестах в виде завышенных параметров решетки в  $\text{SnO}_2$  и сером олове. Координаты атомов в элементарной ячейке неплохо согласуются с результатами расшифровки структуры  $\alpha\text{-CdSnO}_3$  [18], выполненной в предположении, что пространственная группа кристалла —  $Pbnm$ .

Одновременно с расчетами структуры  $\alpha\text{-CdSnO}_3$  была найдена структура  $\beta\text{-CdSnO}_3$  (пр. гр.  $R\bar{3}$ ). Расчетные параметры решетки этой фазы ( $a = 5.5238 \text{ \AA}$ ,  $c = 14.6550 \text{ \AA}$ ) оказались близкими к параметрам, полученным в эксперименте ( $a = 5.4530 \text{ \AA}$ ,  $c = 14.960 \text{ \AA}$  [3]). При этом энергия фазы  $R\bar{3}$  метастабиле кадмия оказалась на  $77 \text{ meV}$  ниже энергии фазы  $Pbn2_1$ . Это означает, что при  $T = 0$  фаза со структурой искаженного перовскита является метастабильной. Заметим, что и в  $\text{CdTiO}_3$ , который также существует в кристаллических модификациях ильменита и перовскита, энергия фазы  $R\bar{3}$  при  $T = 0$  по нашим данным на  $166 \text{ meV}$  ниже энергии фазы  $Pbnm$ . Различие энтропийных вкладов в термодинамический потенциал  $\Phi$  может приводить к пересечению кривых  $\Phi(T)$  для двух рассматриваемых

фаз, и это позволяет объяснить, почему при низкой температуре синтеза получаются кристаллы со структурой ильменита, а при высокой — со структурой перовскита (см. раздел 1).

**3.2. Сегнетоэлектрическая фаза в CdSnO<sub>3</sub>.** Для проверки возможности существования полярного состояния в  $\alpha\text{-CdSnO}_3$  были рассчитаны частоты фона в точке  $\Gamma$  для орторомбической фазы  $Pbnm$  этого кристалла. Расчеты обнаружили одну неустойчивую оптическую моду симметрии  $B_{1u}$  с частотой  $89i \text{ cm}^{-1}$ , с которой может быть связан сегнетоэлектрический ФП  $Pbnm \rightarrow Pnb2_1$ .

Расчетные равновесные положения атомов и параметры решетки для фазы  $Pnb2_1$  приведены в табл. 2. Искажение решетки сопровождается заметной перестройкой локального окружения атома Cd, в результате которой среднее расстояние до четырех ближайших атомов кислорода возрастает на  $0.017 \text{ \AA}$ , зато еще два атома кислорода становятся ближе на  $0.23 \text{ \AA}$ . Таким образом, сегнетоэлектрическое искажение решетки сопровождается возрастанием эффективного координационного числа атома Cd. Выигрыш энергии при ФП  $Pbnm \rightarrow Pnb2_1$  составляет  $\Delta E = 30.5 \text{ meV}$  (табл. 1). Достаточно большой выигрыш энергии позволяет ожидать, что при комнатной температуре структура будет сегнетоэлектрической в соответствии с данными работ [10,11]. Действительно, если по величине выигрыша энергии при переходе в сегнетоэлектрическую фазу оценить температуру ФП ( $\Delta E/k \sim 350 \text{ K}$ ), то она оказывается близкой к температуре  $80^\circ\text{C}$ , при которой в спектрах оптического поглощения в [9] наблюдались самые сильные изменения.

Расчет величины спонтанной поляризации в CdSnO<sub>3</sub> со структурой  $Pnb2_1$  методом фазы Берри [19] дает неожиданно высокое значение  $P_s = 0.25 \text{ C/m}^2$ , которое близко к спонтанной поляризации в титанате бария.

#### 4. Обсуждение результатов

Результаты настоящих расчетов показывают, что сегнетоэлектрические свойства в кристаллах семейства перовскита могут появиться и у кристаллов, не содержащих атомов переходных  $d$ -элементов. Попробуем разобраться в природе таких ФП.

Появление сегнетоэлектрического ФП в  $\alpha\text{-CdSnO}_3$  не может быть связано с нецентральным расположением атомов кадмия. Хотя в кубической практазе CdSnO<sub>3</sub> диагональный элемент матрицы „одноузельных“ силовых постоянных для атомов Cd равен  $-0.0111 \text{ Ha/Bohr}^2$ , что указывает на его нецентральное положение, в фазе  $Pbnm$ , после того как объем элементарной ячейки уменьшился на  $8.4\%$ , минимальное значение диагонального элемента увеличивается до  $+0.0714 \text{ Ha/Bohr}^2$ , и потенциальная яма для атома Cd становится одноминимумной.<sup>1</sup>

<sup>1</sup> В настоящей работе значения элементов матрицы силовых постоянных и парциальных плотностей состояний приведены в атомной системе единиц Хартри.

**Таблица 3.** Собственные векторы  $\xi$  сегнетоэлектрической моды  $B_{1u}$  и эффективные заряды атомов  $Z^*$  в кристаллах  $CdSnO_3$  и  $CdTiO_3$  с пр. гр.  $Pbnm$  и в  $BaTiO_3$  с пр. гр.  $Pm\bar{3}m$

Атом	$\xi_x$	$\xi_y$	$\xi_z$	$Z_{xx}^*$	$Z_{yy}^*$	$Z_{zz}^*$
Cd	+0.00000	+0.00000	+0.18913	+2.462	+2.506	+2.440
Sn	+0.00257	+0.12515	-0.01935	+4.379	+4.407	+4.338
O1	+0.00000	+0.00000	-0.05940	-2.052	-1.894	-2.905
O2	-0.13111	+0.20564	-0.19455	-2.395	-2.509	-1.937
Cd	+0.00000	+0.00000	+0.10628	+2.570	+2.500	+2.592
Ti	+0.01863	-0.19067	+0.15463	+7.363	+7.693	+7.260
O1	+0.00000	+0.00000	-0.16286	-2.194	-1.957	-5.650
O2	-0.07161	+0.18255	-0.19322	-3.869	-4.118	-2.101
Ba			+0.02988			+2.738
Ti			+0.67340			+7.761
O1			-0.54043			-6.128
O2			-0.35607			-2.186

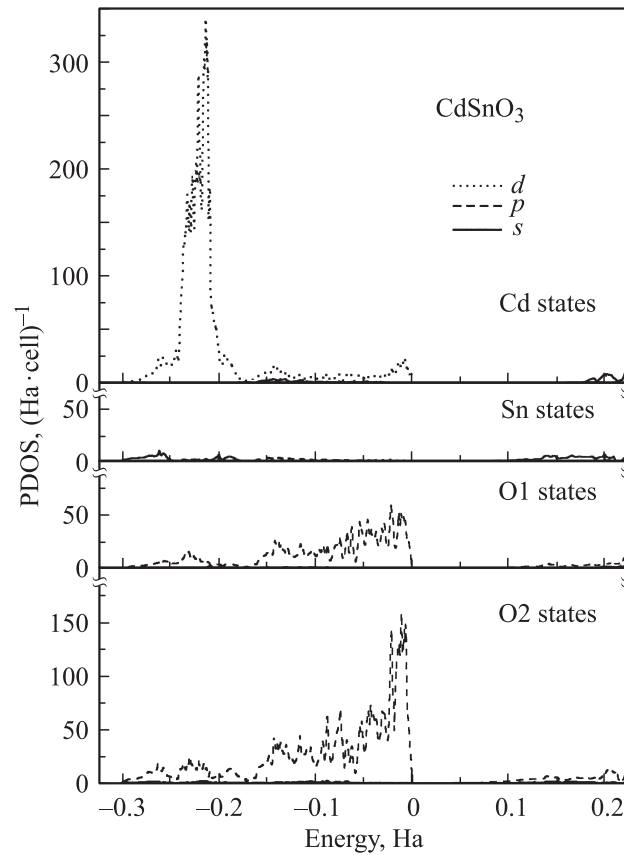
Рассмотрим теперь характеристики сегнетоэлектрической мягкой моды. В табл. 3 приведены собственные векторы  $\xi$  динамической матрицы для моды  $B_{1u}$  в кристаллах  $\alpha$ - $CdSnO_3$ ,  $CdTiO_3$  и для сравнения для моды  $\Gamma_{15}$  в  $BaTiO_3$ . Атомами O1 здесь обозначены атомы кислорода, образующие с атомами  $B$  цепочки, которые идут в направлении полярной оси сегнетоэлектрической фазы, а O2 — остальные атомы кислорода. Анализ собственного вектора моды  $B_{1u}$  в  $\alpha$ - $CdSnO_3$  показывает, что основной вклад в колебания сегнетоэлектрической моды вносят атомы Cd и O2. При этом атом Sn существенно смещается только в направлении  $y$ , перпендикулярном полярной оси, а его небольшое смещение вдоль полярной оси происходит в противофазе с атомами кадмия и в фазе с атомами кислорода. Это означает, что основную роль в возникновении сегнетоэлектричества в  $\alpha$ - $CdSnO_3$  играют атомы кадмия. Из сравнения собственных векторов сегнетоэлектрических мод в трех кристаллах следует, что метастаннат кадмия и титанат бария представляют собой крайние случаи, в которых появление сегнетоэлектричества обусловлено соответственно атомами  $A$  и атомами  $B$  в решетке перовскита  $ABO_3$ , а титанат кадмия представляет собой промежуточный случай.

Эффективные заряды атомов  $Z^*$  в фазе  $Pbnm$  метастанната кадмия (табл. 3) близки к формальным валентностям атомов. В кубической прафазе эффективный заряд для атомов Sn немного меньше, чем в орторомбической фазе ( $Z^* = 4.17$ ), а для атомов Cd — немного больше ( $Z^* = 3.26$ ).

Для лучшего понимания природы сегнетоэлектрической неустойчивости и характера химической связи в  $\alpha$ - $CdSnO_3$  были рассчитаны парциальные плотности состояний (вклады  $s$ -,  $p$ - и  $d$ -атомных орбиталей атомов Cd, Sn, O1 и O2 в полную плотность состояний). Результаты этих расчетов представлены на рис. 2. Из рисунка следует, что в образовании химической связи в

кристалле большую роль играет перекрытие  $4d$ -состояний Cd и  $2p$ -состояний O; сравнимые вклады указанных состояний свидетельствуют о значительной ковалентной составляющей в этой связи. Вклад  $5s$ - и  $5p$ -состояний Sn в состояния валентной зоны намного меньше вклада атомов Cd, что указывает на преимущественно ионный характер связи Sn—O.  $5s$ -состояния Sn, перекрывающиеся с  $2p$ -состояниями O, вносят основной вклад в состояния зоны проводимости ( $E > 0.037$  На на рис. 2). Заметим, что, хотя парциальные плотности состояний для  $\alpha$ - $CdSnO_3$  уже рассчитывались в [18], в этой работе не была проанализирована роль  $4d$ -состояний Cd, вклад которых в плотность состояний, согласно нашим расчетам, оказался в несколько раз больше, чем вклад  $5s$ -состояний Sn. Вывод о важной роли ковалентного взаимодействия атомов Cd и O, следующий из анализа парциальных плотностей состояний, согласуется с результатами анализа собственного вектора сегнетоэлектрической моды и указывает на то, что перестройка этих связей и является причиной сегнетоэлектрической неустойчивости  $\alpha$ - $CdSnO_3$ .

В табл. 4 приведены расчетные частоты мод, активных в спектрах комбинационного рассеяния (КР) и инфракрасных (ИК) спектрах, для кристаллов  $CdSnO_3$  с



**Рис. 2.** Парциальные вклады  $s$ -,  $p$ - и  $d$ -состояний атомов Cd, Sn, O1 и O2 в плотность состояний в орторомбической  $Pbnm$  фазе  $CdSnO_3$ . За начало отсчета энергии принято положение потолка валентной зоны.

**Таблица 4.** Расчетные частоты оптических мод  $\nu_i$ , активных в ИК-спектрах и спектрах КР для кристаллов  $\text{CdSnO}_3$  с пр. гр.  $Pbnm$  и  $Pbn2_1$

Пространственная группа	Мода	$\nu_i, \text{ см}^{-1}$
$Pbnm$	$A_g$	79,130,196,290,413,452,522
	$B_{1g}$	108,150,232,347,440,500,671
	$B_{2g}$	87,207,446,474,668
	$B_{3g}$	107,142,375,500,590
	$B_{1u}$	89 $i$ ,118,163,237,390,551,594
	$B_{2u}$	62,150,175,226,264,302,420,512,605
	$B_{3u}$	90,131,186,216,267,362,420,476,640
$Pbn2_1$	$A_1$	78,117,138,144,201,213,241, 271,375,413,436,504,562,574
	$A_2$	93,105,121,130,149,202,226,263, 351,396,432,486,539,599,655
	$B_1$	90,120,152,206,236,251,273, 351,396,443,466,483,610,658
	$B_2$	88,131,151,193,208,238,261, 298,364,421,462,515,579,603

пр. гр.  $Pbnm$  и  $Pbn2_1$ . В кристалле со структурой  $Pbnm$  имеется 24 КР-активных моды (моды симметрии  $A_g$ ,  $B_{1g}$ ,  $B_{2g}$  и  $B_{3g}$ ) и 25 мод, активных в ИК-спектрах (моды симметрии  $B_{1u}$ ,  $B_{2u}$  и  $B_{3u}$ ). При понижении симметрии кристаллов до  $Pbn2_1$  активными в спектрах КР становятся все 57 оптических мод, а в ИК-спектрах — 42 моды с симметрией  $A_1$ ,  $B_1$  и  $B_2$ . К сожалению, имеющиеся в литературе спектры ИК-поглощения в области  $250-800 \text{ cm}^{-1}$  для  $\alpha\text{-CdSnO}_3$  [20] состоят из пяти очень широких полос, и провести их идентификацию не удалось.

В плане оценки перспектив дальнейших исследований сегнетоэлектрических свойств  $\alpha\text{-CdSnO}_3$  хотелось бы отметить следующее. Как отмечалось в разделе 1, эти кристаллы являются полупроводниками  $n$ -типа, причем зависимость их проводимости от температуры носит термоактивационный характер, с энергией активации  $0.3 \text{ eV}$  [3]. Поэтому, если величина прыжковой проводимости не будет высокой, можно провести ряд исследований при низкой температуре. Донорные уровни, поставляющие электроны в зону проводимости, обычно связывают с уровнями вакансий кислорода. Однако сравнительно слабое влияние изменения парциального давления  $\text{O}_2$  в процессе отжига на проводимость  $\alpha\text{-CdSnO}_3$  [8] делает маловероятным это объяснение. В работе [21] при обсуждении свойств  $\text{Cd}_2\text{SnO}_4$  было рассчитано энергетическое положение различных дефектов и показано, что наиболее важным типом дефектов в этом кристалле является антиструктурный дефект  $\text{Cd}_{\text{Sn}}$ . Возможно, что эти же дефекты могут определять и электропроводность  $\alpha\text{-CdSnO}_3$ . Хотелось бы надеяться, что совершенствование технологии получения кристаллов и их легирование акцепторными примесями позволят в будущем получить высокоомные кристаллы  $\alpha\text{-CdSnO}_3$ , на

которых можно будет провести прямые диэлектрические измерения.

## 5. Заключение

Расчеты, выполненные из первых принципов, подтверждают существование в метастанните кадмия устойчивой сегнетоэлектрической фазы  $Pbn2_1$ , энергия которой на  $30.5 \text{ meV}$  ниже энергии неполярной фазы  $Pbnm$ , а спонтанная поляризация равна  $0.25 \text{ C/m}^2$ . Анализ собственного вектора сегнетоэлектрической моды в  $\alpha\text{-CdSnO}_3$  и парциальных плотностей состояний указывает на то, что сегнетоэлектрическая неустойчивость в этом кристалле, не содержащем атомов переходных  $d$ -элементов, связана с образованием ковалентной связи между атомами Cd и O.

## Список литературы

- [1] A.J. Smith. Acta Cryst. **13**, 749 (1960).
- [2] I. Náray-Szabó. Naturwiss. **31**, 202 (1943).
- [3] R.D. Shannon, J.L. Gillson, R.J. Bouchard. J. Phys. Chem. Sol. **38**, 877 (1977).
- [4] I. Morgenstern-Badarau, P. Poix, A. Michel. C.R. Acad. Sci. (Paris) **258**, 3036 (1964).
- [5] Z. Tianshu, S. Yusheng, D. Qiang, F. Huajun. J. Mater. Sci. Lett. **13**, 1647 (1994).
- [6] Y.-L. Liu, Y. Xing, H.-F. Yang, Z.-M. Liu, Y. Yang, C.-L. Shen, R.-Q. Yu. Analyt. Chim. Acta **527**, 21 (2004).
- [7] Landolt-Börnstein. Numerical data and functional relationships in science and technology. New series. Springer-Verlag (1986). Group III. V. 7d1g. P. 178.
- [8] F. Golestanian-Fard, C.A. Hogarth, D.N. Waters. J. Mater. Sci. Lett. **2**, 505 (1983).
- [9] E.N. Myasnikov, R.I. Spinko, E.A. Shalaeva, T.P. Myasnikova. Ferroelectrics **214**, 177 (1998).
- [10] В.Н. Лебедев, Р.В. Колесова, Е.Г. Фесенко. В сб.: Кристаллизация и свойства кристаллов. Межвуз. сб. Новочеркасск (1977). В. 4. С. 96.
- [11] Н.В. Пруцакова, Ю.В. Кабиров. Исследовано в России (электрон. журн.) **7**, 2402 (2004); <http://zhurnal.ape.relarn.ru/articles/2004/226.pdf>.
- [12] X. Gonze, J.-M. Beuken, R. Caracas, F. Detraux, M. Fuchs, G.-M. Rignanese, L. Sindic, M. Verstraete, G. Zerah, F. Jollet, M. Torrent, A. Roy, M. Mikami, Ph. Ghosez, J.-Y. Raty, D.C. Allan. Comput. Mater. Sci. **25**, 478 (2002).
- [13] J.P. Perdew, A. Zunger. Phys. Rev. B **23**, 5048 (1981).
- [14] A.M. Rappe, K.M. Rabe, E. Kaxiras, J.D. Joannopoulos. Phys. Rev. B **41**, 1227 (1990).
- [15] N.J. Ramer, A.M. Rappe. Phys. Rev. B **59**, 12471 (1999).
- [16] А.И. Лебедев. ФТТ **51**, 341 (2009).
- [17] А.И. Лебедев. ФТТ **51**, 757 (2009).
- [18] H. Mizoguchi, H.W. Eng, P.M. Woodward. Inorg. Chem. **43**, 1667 (2004).
- [19] N. Sai, K.M. Rabe, D. Vanderbilt. Phys. Rev. B **66**, 104108 (2002).
- [20] I.L. Botto, E.J. Baran. Z. Anorg. Allg. Chem. **465**, 186 (1980).
- [21] S.B. Zhang, S.-H. Wei. Appl. Phys. Lett. **80**, 1376 (2002).